

JT-G722.1

フレーム消失の少ないシステムにおける
ハンズフリー用途向け
24 および 32kbit/s
低演算量符号化方式

Low-complexity coding at 24 and 32 kbit/s
for hands free operation in systems with low frame loss

第 4.1 版

2010 年 5 月 26 日制定

社団法人
情報通信技術委員会

THE TELECOMMUNICATION TECHNOLOGY COMMITTEE

本書は、（社）情報通信技術委員会が著作権を保有しています。
内容の一部又は全部を（社）情報通信技術委員会の許諾を得ることなく複製、転載、
改変、転用及びネットワーク上での送信、配布を行うことを禁止します。

目次

1. 本標準の規定範囲.....	6
2. 概要.....	6
3. 参考とする標準.....	6
4. 符号器.....	7
4. 4. 1 使用可能なビット数の調整.....	10
4. 4. 2 最初のカテゴリ化タイプの算出.....	11
4. 4. 3 残りの15通りのカテゴリ化タイプの生成.....	11
5. 復号器.....	14
6. Cコード.....	17
7. カテゴリ化手順のフローチャート.....	18
8. 図.....	23
付属資料A.....	26
A. 1 概要.....	26
A. 2 JT-G 7 2 2. 1フレームに対するパケット構成.....	26
A. 3 TTC標準JT-H 2 4 5で用いられる能力識別子およびパラメータテーブル.....	27
A. 4 参考文献.....	30
付属資料B.....	31
B. 1 概要.....	31
B. 2 アルゴリズムの記述.....	31
B. 3 ANS I Cコード.....	31
付属資料C.....	33
概要.....	33
C. 1 はじめに.....	33
C. 2 アルゴリズムの記述.....	33
C. 3 ANS I Cコード.....	35

<参考>

1. 英文記述の適用レベル

適用レベル：E3

本標準の本文および図表に英文記述を含んでいる。

2. 国際勧告等との関連

本標準は、1999年9月に承認されたITU-T勧告G.722.1に準拠したものである。

本標準の付属資料Aは、2000年2月に承認されたITU-T勧告G.722.1 Annex Aに準拠したものである。本標準の付属資料Bは、2000年11月に承認されたITU-T勧告G.722.1 Annex Bに準拠したものである。

また、本標準は、2002年10月に承認されたITU-T勧告G.722.1に対するインプリメンターズガイドに準拠して改定されたものである。

また、本標準の付属資料Aおよび付属資料Cは、2005年4月にITU-T SG16でAAPに進むことが合意され、2005年5月に承認されたITU-T勧告G.722.1 Annex A (改定版) および Annex Cに準拠したものである。

また、本標準は、2008年6月に承認されたITU-T勧告G.722.1に対するCorrigendum1に準拠して改定されたものである。

3. 上記国際勧告等に対する追加項目等

3.1 オプション選択項目

なし

3.2 ナショナルマター決定項目

なし

3.3 その他

(1)本標準は、上記ITU-T勧告に対し、先行している項目はない。

(2)本標準は、上記ITU-T勧告に対し、追加した項目はない。

(3)本標準は、上記ITU-T勧告に対し、削除した項目はない。

(4)本標準は、上記ITU-T勧告に対し、変更した項目はない。

3.4 原勧告との章立て構成比較

上記国際勧告等との章立て構成の相違はない。

4. 改版の履歴

版数	制定日	改版内容
第1版	2000年4月20日	制定
第2版	2000年11月30日	付属資料Aの追加
第3版	2001年4月19日	付属資料Bの追加
第3.1版	2003年11月27日	Cコード改定に関する記述の追加
第4版	2005年11月24日	付属資料Aの改定および付属資料Cの追加
第4.1版	2010年5月26日	Cコード改定に関する記述の追加

5. 工業所有権

本標準に関わる「工業所有権の実施の権利に係る確認書」の提出状況は、TTCホームページでご覧になれます。

6. その他

(1) 参照している勧告、標準等

TTC標準： JT-G722、JT-H323、JT-H245、JT-H225.0

ITU-T勧告： ITU-T勧告G.192

ISO/IEC標準： ISO/IEC9899

(2) TTC標準JT-G722.1は、ITU-T勧告G.722.1に準拠しており、本標準中で言及しているCコードとは、ITU-T勧告G.722.1のものをさし、ITU-TのWebサイトから入手可能である。

本標準本体および付属資料Bにて参照しているCコードの改定に関して、2002年10月に承認されたITU-T勧告G.722.1に対するインプリメンターズガイドに記述がある。

また、付属資料Bにて参照しているCコードの改定に関して、2008年6月に承認されたITU-T勧告G.722.1に対するCorrigendum1に記述がある。

1. 本標準の規定範囲

本標準は、7kHz 帯域幅のオーディオ信号に対して 24kbit/s または 32kbit/s で動作する低演算量の符号器および復号器に関して記述されたものである。更に、本アルゴリズムは、フレーム消失の発生確率が低い条件において、会議システムのようなハンズフリーのアプリケーションに使用されることが推奨される。音声または音楽の入力に対して使用される。ビットレートは、任意の 20ms フレーム単位で切り替えることができる。

2. 概要

本標準は、24kbit/s または 32kbit/s のビットレートで動作し、50Hz から 7kHz のオーディオ帯域の信号を提供するデジタル広帯域符号化アルゴリズムを記述したものである。符号器へのデジタル入力、サンプリング周波数が 16kHz の 14,15 または 16 ビットの 2 の補数形式である (TTC 標準 JT-G 7 2 2 と同様)。符号器入力および復号器出力におけるアナログとデジタルのインタフェース回路は、TTC 標準 JT-G 7 2 2 の記載と同一の仕様に従うべきである。

アルゴリズムは、変調重複変換 (MLT) を用いた変換技術に基づいたものであり、20ms フレーム (320 サンプル) で動作する。変換窓長 (基底関数長) が 640 サンプルで、フレーム間の重複が 50% (320 サンプル) であるので、有効な先読みのバッファサイズは 20ms である。従って、合計のアルゴリズム遅延は、フレームサイズと先読みの合計で 40ms である。他の全ての遅延は、処理遅延と網伝送遅延によるものである。

本標準の符号化アルゴリズムは、ビットイグザクトな固定小数点演算で記述されている。第 6 章にて示される C コードは、本標準の一部をなしており、ビットイグザクトな固定小数点演算を実現したものとして、ITU-T の Web サイトから入手可能である。なお、第 4 章および第 5 章の数学的な記述との相違点がある場合には、C コードの方が優先される。

符号器 (第 4 章) および復号器 (第 5 章) の数学的な記述は、他の何通りかの方法で実現することは可能である。しかし、第 6 章の C コードは参照用に提供されたものであり、本標準に準拠するためには、いかなる実現方法によっても、任意の入力信号が第 6 章の C コードと同一の出力結果を出力するものでなければならない。

上記目的を達成するためには、本標準の実現に際しては、第 6 章の C コードにより与えられる計算の詳細、定数テーブル、変数の適応化の順序に従うべきである。本アルゴリズムには、正しいビットイグザクト動作を維持するためにきわめて重要な箇所が多く存在する。そのような箇所は、第 6 章の C コードにより記述される計算の詳細、定数テーブル、変数の適応化の順序と完全に同一に実現しなければならない。

C コードは参照用に提供されたものであり、特定の實現対象のプラットフォーム用として (メモリや演算量等の面で) 最適化されたものではない。C コードは、特定の實現に対しては最適化が必要である。

非網羅的なテスト信号のセットが、本標準の一部として、符号器および復号器の實現が本標準に適合していることを検証するためのツールとして提供される。

実際面において、購入者は、装置またはソフトウェアが相互接続性を保証する本標準に準拠していることを期待する。本標準を実現する際には、C コードの最適化、もしくは C コードの修正を選択することもできる。その場合には、任意の入力信号に対して、第 6 章の C コードで期待される出力と同一結果を出力することを検証すべきである。

3. 参考とする標準

下記の TTC 標準および他の参考文献は、本標準での参照を通して本標準の規定を構成するものである。本標準の出版の際には、示された版が有効である。全ての標準および参考文献は、改定に従うものとする。従って、本標準のユーザには、最新の版が適用されるよう奨励される。

- (1) TTC 標準 JT-G 7 2 2 (1994)
64kbit/s 以下の 7kHz オーディオ符号化方式
- (2) ITU-T 勧告 G. 192 (03/96)

4. 符号器

Figure 1 / JT-G722.1 に、符号器のブロック図を示す。

20ms (320 サンプル) 毎に、最新の時間領域の 640 オーディオサンプルが変調重複変換 (MLT) に供給される。各々の変換により、320 個の MLT 係数からなるフレームが生成され、その MLT 係数フレームはそれぞれ独立に符号化される。すなわち、前フレームに依存する状態情報は存在しない。24kbit/s および 32kbit/s 動作に対して、フレーム当たりの割り当てビット数はそれぞれ、480 および 640 である。

MLT 変換によって生成された変換係数は、最初に、振幅包絡を計算して量子化するモジュールに適用される (Figure 2 / JT-G722.1 参照)。振幅包絡は、MLT スペクトルの粗い表現である。スペクトルは領域と呼ばれる 20 個の MLT 係数からなるブロックに分割される。各々の領域は 500Hz 帯域幅を表す。全帯域幅が 7kHz なので、*number_of_regions* は 14 に設定される。7kHz を超える周波数を表す MLT 係数は無視される。振幅包絡符号化ビットは、MUX (多重化器) へ送られ復号器に送信される。振幅包絡の量子化および符号化後に残ったビットは、カテゴリ化手順において MLT 係数を符号化するために使用される。

量子化された振幅包絡および振幅包絡の符号化後におけるフレームの残り (4 ビットの カテゴリ化制御ビットを除く) のビット数を用いて、カテゴリ化手順に従い 16 セットの カテゴリ化タイプ (カテゴリ化タイプ 0 から カテゴリ化タイプ 15) を生成する。各々の カテゴリ化タイプにおいて、同一の MLT 係数を符号化するのに各々の異なるビット数を必要とする。

各々の カテゴリ化タイプは、14 の カテゴリ割り当てのセットからなり、14 の領域の各々に 1 つの カテゴリが割り当てられる。カテゴリは領域に対して事前に決定された量子化および符号化のパラメータのセットを定義する。領域を符号化するのに必要な所望ビット数は、各々の カテゴリに関連している。本符号器は可変長のハフマン符号化を用いるため、最終的な使用ビット数は領域における MLT 係数の個々の系列に依存して変わる。

次に、MLT 係数に対して、16 の計算された カテゴリ化タイプの各々において、異なる量子化および符号化が行われる。各々の カテゴリ化タイプに対して、実際に必要な符号化ビット数が決定される。

量子化および符号化は領域毎に行われる。カテゴリ化は、14 の全ての領域に対して カテゴリ割り当てを決定し、振幅包絡とともに各々の領域に対する カテゴリ割り当ては、その領域における 20 の全ての MLT 係数に使用される全ての量子化および符号化のパラメータを決定する。

領域における MLT 係数は、最初に、その領域における量子化された振幅包絡により正規化され、それからスカラ量子化される。その結果得られたスカラ量子化インデックスはベクトルインデックスとして構成される。ベクトルインデックスはその後ハフマン符号化される。従って、それらは可変ビット数で符号化される。最も頻度の高いインデックスは頻度の低いベクトルインデックスに比べてより少ないビットを必要とする。

本コーデックは可変長のハフマン符号化を用い、固定の伝送ビットレートが要求されるため、ビットレートを伝送路のレートに拘束させる方法が必要である。4 ビットの カテゴリ化制御ビットが、復号器に対してどの カテゴリ化タイプが選択されたかを特定する。カテゴリ化切り替えが、送信のため MUX に出力する符号化ビット (選択された カテゴリ化タイプを用いて生成された量子化 MLT 係数を表す) を指定する。伝送路のレートに最も近いビット数を供給する カテゴリ化タイプが送信のために選択される。

4. 1 変調重複変換 (MLT)

MLT は完全再生する線形変換であり、隣接する MLT フレームの基底関数はお互いに 50% の重複をしている。MLT へ入力するオーディオ信号は最新の 640 個のオーディオサンプルであり、 $x(n)$ と定義する。

$x(0)$ は最も古いオーディオサンプル
 また
 $0 \leq n < 640$

このとき、MLT係数は320個の係数を持ち $mlt(m)$ と定義する。

但し
 $0 \leq m < 320$

MLT係数は以下によって与えられる。

$$mlt(m) = \sum_{n=0}^{639} \sqrt{\frac{2}{320}} \sin\left(\frac{\pi}{640}(n+0.5)\right) \cos\left(\frac{\pi}{320}(n-159.5)(m+0.5)\right) x(n)$$

MLTは窓かけおよび重ねあわせ加算演算を行い、タイプIV 離散コサイン変換(DCT)を行う。その窓かけおよび重ねあわせ加算演算は以下となる。

$$v(n) = w(159-n)x(159-n) + w(160+n)x(160+n)$$

但し
 $0 \leq n \leq 159$

$$v(n+160) = w(319-n)x(320+n) - w(n)x(639-n)$$

但し
 $0 \leq n \leq 159$

ここで

$$w(n) = \sin\left(\frac{\pi}{640}(n+0.5)\right)$$

但し
 $0 \leq n < 320$

$v(n)$ をタイプIV DCTと組み合わせることで、結果的にMLTに対する式は以下となる。

$$mlt(m) = \sum_{n=0}^{319} \sqrt{\frac{2}{320}} \cos\left(\frac{\pi}{320}(n+0.5)(m+0.5)\right) v(n)$$

但し、DCTの演算量を著しく減らすために、高速変換技術を使用する。

4. 2 振幅包絡の計算と量子化

MLT係数は20個の係数毎に領域 r として区分される。また、総領域は $number_of_regions=14$ である。よって、領域 r はMLT係数 $20r$ から $20r+19$ を含む。

ここで
 $0 \leq r < number_of_regions$

但し、7kHzを超える周波数は対象とする帯域外であるので、最高周波数から40個のMLT係数は使用しな

い。領域 r における振幅包絡はその領域内のMLT係数の実効値として定義され、以下のように計算される。

$$rms(r) = \sqrt{\frac{1}{20} \sum_{n=0}^{19} mlt(20r+n) mlt(20r+n)}$$

ここで、 $rms(r)$ の量子化を行う。量子化器の出力インデックスを $rms_index(r)$ とする。また、 $rms(r)$ の量子化に伴い、再生される量子化値は下記のようになる。

$$2^{\left(\frac{i+2}{2}\right)}$$

但し

i は整数値

ここで

$$-8 \leq i \leq 31$$

さらに、 $rms_index(0)$ は下記のように制限される。

$$1 \leq rms_index(0) \leq 31$$

$rms(r)$ の量子化は対数スケールで行い、 $2^{\left(\frac{i+2}{2}\right)}$ となる値が求められたとき、量子化の範囲は $2^{\left(\frac{i-0.5+2}{2}\right)}$ から $2^{\left(\frac{i+0.5+2}{2}\right)}$ となる。

例えば、 $rms(r)=310$ のとき、量子化レベルは $2^{\left(\frac{15+2}{2}\right)}$ 、即ち、362.04 となる。また、 $rms_index(r)=15$ となる。その理由として $2^{\left(\frac{15-0.5+2}{2}\right)}=304.43$ となるためである。

4. 3 振幅包絡の符号化

$rms_index(0)$ はそれぞれのフレームで送信される最初の値であり、5ビットが割り当てられる。また、最上位ビットを最初に送信する。 $rms_index(0)=0$ という値は予約されていて使うことはできない。残りの13個の振幅包絡の出力インデックスは送信するために差分符号化およびハフマン符号化される。振幅包絡が符号化される時の隣合うインデックスの最大許容差は+11から-12である。この範囲内に差を収めるために、谷の部分は頂点が正確に表現されるように上向きに調節される。このことは以下の擬似Cコードに記されている。

```
for (r=number_of_regions-2; r>=0; r--)
{
    if (rms_index[r]<rms_index[r+1]-11)
        rms_index[r]=rms_index[r+1]-11;
}
for (r=1; r<number_of_regions; r++)
{
    j=rms_index[r]-rms_index[r-1];
    if (j<-12)
    {
        j=-12;
        rms_index[r]=rms_index[r-1]+j;
    }
}
```

```

    }
    differential_rms_index[r]=j;
}

```

実効値インデックスの差 $differential_rms_index[r]$ は領域 r の順番に送信される。 $differential_rms_index[r]$ はテーブル $differential_region_power_codes[r][j+12]$ で定義される可変長ハフマン符号に従い符号化される。また、ハフマン符号化のビット数はテーブル $differential_region_power_bits[r][j+12]$ により求められる。この配列は本標準の C コードに含まれている。それぞれの領域は特定のハフマン符号に関連付けられる。ハフマン符号の送信は最上位ビットより行う。

4. 4 カテゴリ化手順

カテゴリ化手順は MLT 係数を量子化するために使われるステップサイズ（と他の量子化と符号化に関連するパラメータ）を決定する。カテゴリ化の手順は最初にそれぞれの領域毎にカテゴリを割り当てる。0-7 までの 8 つのカテゴリがある。16 の異なるカテゴリ化タイプの組が計算され、最後に送信のために 1 つに確定される。このカテゴリ化手順は復号化でも使用する。また、同じ入力を与えられた場合、この手順を実現した種々の機器で同一のカテゴリ化タイプとならなければならない。このことは相互接続性のために重要である。この手順における入力は以下ようになる。

(1) $number_of_available_bits$: 振幅包絡とカテゴリ化制御ビットを計算したあとでもまだ使われていないフレーム内の実際のビット数

(2) $rms_index()$: MLT 係数の実効値 $rms(r)$ の全ての領域で量子化された値

領域に割り当てられたカテゴリは領域の量子化と符号化のパラメータを決定する。また、それぞれの領域に割り当てられたカテゴリは領域の量子化された MLT 係数を表わすのに必要な総ビット数をも決定する。これは、可変長ハフマン符号が使われるので、実際のビット数は領域の MLT 係数の統計値により変わる。よって、16 のカテゴリ化候補の中から、後に述べる基準にしたがって、最適なカテゴリ化タイプを送信のために選択する。それぞれのカテゴリ (0-7) の予測されるビット数を Table 4-1 / JT-G722.1 に定義する。

Table 4-1 / JT-G722.1 Expected number of bits for each category
(ITU-T G.722.1)

category	code bits per region as a function of category (refer to <i>expected_bits_table[]</i> in the C code)
0	52
1	47
2	43
3	37
4	29
5	22
6	16
7	0

4. 4. 1 使用可能なビット数の調整

実際の使用可能なビット数に基づいて、使用可能なビット数の推定値を以下に算出する。

if

$$number_of_available_bits > 320$$

then

$$estimated_number_of_available_bits = 320 + ((number_of_available_bits - 320) * 5/8)$$

estimated_number_of_available_bits は、カテゴリ化の過程において、常に実際の使用可能なビット数未満であり余裕を持たせている。

4. 4. 2 最初のカテゴリ化タイプの算出

-32~31 の任意の整数 *offset* に対して、カテゴリの割り当てを以下に示す。

$$category(r) = \text{MAX}\{0, \text{MIN}\{7, (\text{offset} - \text{rms_index}(r))/2\}\}$$

ここで $0 \leq r < number_of_regions$

全領域に対して、同一の *offset* を使用する。予測されるMLT符号語ビットの総数を次式に示す。

$$expected_number_of_code_bits = \sum_{r=0}^{13} expected_bits_table(category(r))$$

次式を満足する最大 *offset* が見つけられるまで *offset* の値を調整する。

$$expected_number_of_code_bits \geq estimated_number_of_available_bits - 32$$

4. 4. 3 残りの 15 通りのカテゴリ化タイプの生成

一度最初のカテゴリ化タイプを算出すると、残りの 15 通りのカテゴリ化タイプが算出される。それぞれの新しいカテゴリ化タイプについては、直前のカテゴリ化タイプと関連する 1 つの領域だけについてカテゴリを調整する。残りのカテゴリ化タイプを決定する方法を以下に示す。

$$initial_categorization(r) = \text{MAX}\{0, \text{MIN}\{7, (\text{offset} - \text{rms_index}(r))/2\}\}$$

ここで $0 \leq r < number_of_regions$

一時的な変数を以下に定義する。

$$max_category(r)$$

$$max_bits$$

$$min_category(r)$$

$$min_bits$$

$$max_category(r) = initial_categorization(r)$$

$$min_category(r) = initial_categorization(r)$$

$$max_bits = expected_number_of_code_bits$$

$$min_bits = expected_number_of_code_bits$$

残りの 15 通りのカテゴリ化タイプ毎に以下の比較を行う。

if

$$max_bits + min_bits \leq 2 * estimated_number_of_available_bits$$

then

新しいカテゴリ化タイプはより大きな予測ビット数が必要である。以下の式を満足する領域 r について

$$\max_category(r) > 0$$

次式を最小にする領域を探索する。

$$\text{offset-rms_index}(r) - 2 * \max_category(r)$$

上式を最小にする領域が複数存在する場合、最小の領域 r (最低周波数) を選択する。

その領域のカテゴリ値 $\max_category(r)$ を 1 だけ減少する。新しいカテゴリ化タイプの予測ビット数を再算出して \max_bits に設定する。

Otherwise

新しいカテゴリ化タイプはより小さな予測ビット数が必要である。以下の式を満足する領域 r について

$$\min_category(r) < 7$$

次式を最大にする領域を探索する。

$$\text{offset-rms_index}(r) - 2 * \min_category(r)$$

上式を最大にする領域が複数存在する場合、最大の領域 r (最大周波数) を選択する。

その領域のカテゴリ値 $\min_category(r)$ を 1 だけ増加する。新しいカテゴリ化タイプの予測ビット数を再算出して \min_bits に設定する。

このように 16 通りの一意のカテゴリ化タイプが生成される。第 7 章に詳述されるように、カテゴリ化タイプは予測ビット数による順番となる。カテゴリ化タイプ 0 は、最大予測ビット数を保有し、カテゴリ化タイプ 15 は最小予測ビット数を保有する。それぞれのカテゴリ化タイプは、カテゴリ値が 1 だけ異なる 1 つの領域を除いて、前後のカテゴリ化タイプと同様である。例えば、カテゴリ化タイプ 7 において領域 5 はカテゴリ 2 が設定され、カテゴリ化タイプ 8 において領域 5 はカテゴリ 3 に設定され、他の領域についてはカテゴリ化タイプ 7 と同様である。

カテゴリ化手順の詳細フローチャートを第 7 章に示す。

4. 5 スカラ量子化ベクトルハフマン符号化 (SQVH)

カテゴリ値 0~6 に割り当てられた領域について、MLT 係数を符号部と振幅部に分割する。振幅部を $rms(r)$ の量子化値で正規化する。次に下式で示されるスカラ量子化を行いベクトルに結合しハフマン符号化する。カテゴリ 7 に割り当てられた領域は、このように処理されずに 1 ビットも送信されない。

符号器は、領域 r 毎に MLT 係数 $mlt(i)$ の絶対値の正規化、量子化を行い量子化インデックス $k(i)$ を生成する。

$$k(i) = \text{MIN}\{\text{whole number of part}(x * \text{absolute value of}(mlt(20r+i)) + \text{deadzone_rounding}), k_{\max}\}$$

ここで特定の領域におけるインデックスは以下の範囲である。

$$0 \leq i < 20$$

また

$$x = 1 / (\text{stepsize} * (\text{quantized value of } rms(r)))$$

また

stepsize 、 deadzone_rounding 、および、 k_{\max} を Table 4-2/JT-G722.1 に定義

Table 4-2/JT-G722.1 Table of constants used by the SQVH procedure
(ITU-T G.722.1)

category	stepsize	deadzone_rounding	kmax
0	$2^{-1.5}$	0.3	13

1	$2^{-1.0}$	0.33	9
2	$2^{-.5}$	0.36	6
3	$2^{0.0}$	0.39	4
4	$2^{-.5}$	0.42	3
5	$2^{1.0}$	0.45	2
6	$2^{1.5}$	0.5	1

インデックス $k()$ をベクトルインデックスに結合する。ベクトルの特性はカテゴリごとに異なる。Table 4-3 / JT-G722.1 および Figure 3 / JT-G722.1 に示すように、領域毎に vpr 個の vd 次元の定義済みベクトルが存在する。スカラ値 $k()$ は、以下に示すインデックスにより特定された一意のベクトルに対応する。

$$vector_index(n) = \sum_{j=0}^{vd-1} k(n \times vd + j) (kmax + 1)^{(vd-j-1)}$$

ここで

$0 \leq n \leq vpr - 1$ は領域 r の n 番目ベクトル

また

j = 領域 r におけるベクトルの $k()$ の j 番目の値に対するインデックス

vd = カテゴリのベクトル次元

vpr = カテゴリにおける領域当たりのベクトル数

$kmax$ = Table 4-3 / JT-G722.1 に示すカテゴリに対する $k()$ の最大値

Table 4-3 / JT-G722.1 に、 vd 、 vpr および u の値を示す。ここで、 $u = (kmax + 1)^{vd}$ は、あるカテゴリにおけるベクトルのとり得る値の数を示す。

Table 4-3 / JT-G722.1 Definition of constants vd, vpr and u
(ITU-T G.722.1)

category	vd	vpr	u
0	2	10	196
1	2	10	100
2	2	10	49
3	4	5	625
4	4	5	256
5	5	4	243
6	5	4	32

あるカテゴリについて、ベクトル $vector_index(n)$ を表すために必要とするビット数を、テーブル $mlt_sqvh_bitcount_category_0[] \sim mlt_sqvh_bitcount_category_6[]$ に与える。このテーブルは、 $mlt_svqh_code_category_0[] \sim mlt_svqh_code_category_6[]$ において、対応する符号語が必要とするビット数を与える。このビット数には符号ビットは含まれない。 $k()=0$ の値は符号ビットを必要としない。

カテゴリ y の領域 r に対する MLT 係数を表すために、実際に必要とするビット数（符号ビットを含む）を以下に示す。

$$\text{number_of_region_bits}(r) = \sum_{n=0}^{vpr-1} \text{mlt_svqh_bitcount_category_y}(\text{vector_index}(n)) \\ + (\text{number of sign bits in } n^{\text{th}} \text{ vector})$$

4. 6 レート制御

フレームを表すために実際に必要とされるビット総数は、各カテゴリ化タイプごとに算出される。これは、振幅包絡を表すために使われるビットと4ビットのカテゴリ化制御ビットとMLT係数を表すのに必要となるビットを含んでいる。そして、送信に最適なカテゴリ化タイプを選択し、カテゴリ化制御ビットを用いてこの選択を示す。

最初に、割り当て超過のビット総数を持つカテゴリ化タイプが除外される。残りのカテゴリ化タイプの中で最小のインデックスを持つものが選択される。例えば、0から3までのカテゴリ化タイプが割り当てを超えたビットを使用し、カテゴリ化タイプ4は割り当てられたビットに収まっている時、カテゴリ化タイプ4が選択される。

もし、どのカテゴリ化タイプも割り当てられたビットに収まらないならば、最も近いカテゴリ化タイプ（通常は15）が選択される。それから、フレームに割り当てられたビットが尽きるまで符号語ビットが送信される。

オーディオの20msのフレームを表すために符号器が必要とするビット数が、1フレームあたりに割り当てられるビット数（480か640ビット）より少ない場合が起こりうる。この場合、ビット列の最後にある使用されない残りのビットは、全て1に設定される。

4. 7 MLTベクトルインデックスの送信

ベクトルインデックスは、低い周波数から高い周波数に向かって周波数順に送信される。それらは、Cコード中の配列 *mlt_svqh_bitcount_category_x[]* と *mlt_svqh_code_category_x[]* (*x* は、 $0 \leq x \leq 6$ のカテゴリ値を表している)によって定義される可変長符号により符号化される。最も左側の（すなわち最上位）ビットが最初に送信される。それぞれのベクトルのゼロでないMLT係数に関連した符号ビットは、各ベクトルインデックスの可変長符号の送信直後に送信される。符号ビットもまた、周波数順に送信される。符号ビットは、正の数に対して1に設定される。

ビット列

フレーム中のビット総数は、480か640であり、それぞれ24kbit/sと32kbit/sに対応している。フレーム中のビット総数は固定されているが、カテゴリ化制御ビットパラメータを除いて他の全てのパラメータは可変長符号すなわち可変なビット数で表される。Figure 4/JT-G722.1は、この点と、送信されるパラメータフィールドの順番を図示している。全ての可変長符号とカテゴリ化制御ビットは、左側（最上位）のビットから右側（最下位）のビットの順に送信される。

5. 復号器

全てのフレームに対して初めに、領域0の振幅インデックスを表している最初の5ビットが復号される。それから残りの領域が、ハフマン復号され再構成される。4つのカテゴリ化制御ビットは、16の可能なカテゴリ化タイプのうちどれが符号器によって選択され送信されたかを決定するために復号される。フレーム中の残りの符号化ビットは、量子化されたMLT係数を表しており、各領域のカテゴリ情報に従って復号される。符号器におけるのと全く同様に、復号器におけるカテゴリ化手順は、復号されずに残っているビット数（現フレーム中の）とともに振幅包絡を使用し、16の可能なカテゴリ化タイプの集合を算出する。

いくつかの領域に対して、符号器によりカテゴリ7が割り当てられる場合がある。これは、これらの領域を表すためにはMLT係数が、全く送信されないということを意味している。カテゴリ7を割り当てられた領域は雑音充填と呼ばれる技術を用いて再構成される。これらの領域に対する平均的なMLT係数の大きさは、振幅包絡から得ることができる。カテゴリ7のMLT係数を0に設定する代わりに、復号器はその領域に対する

平均的なMLT係数の大きさに比例した値に設定する。各係数の符号は、ランダムに設定される。係数の符号の決定は、何らかの方法によってなされる。例えば、単純な擬似乱数発生器で、十分である。

カテゴリ5と6では、MLT係数の多くがゼロに量子化される場合があるため、雑音充填は、これらのカテゴリにも適用される。ゼロとして送信された値は、その領域に対する平均振幅の何分の一かに設定される。符号は再度ランダムに決定される。

ゼロ以外の値にスカラ量子化された係数に対して、正規化された係数は、前もって定義されているテーブルから再構成される。再構成された値は、それから適切な $rms(r)$ の値を使用して縮尺される。7kHz以上の周波数を表している40個のMLT係数はゼロに設定される。MLT係数の再構成の後、逆変調重複変換 (IMLT) は、320個の新しい時間領域のサンプルを生成する。

IMLTの最後の重ね合わせ加算演算を除いて、復号器によって受け取られる各フレーム中の情報は、前フレーム中の情報には依存しない。

5.1 振幅包絡の復号

フレームの最初の5ビットは、 $rms_index(0)$ を表している。それから、残った領域に対して、 $differential_rms_index(r)$ に対する可変長符号が、Cコード中で参照されている配列 $differential_region_power_bits[][]$ と配列 $differential_region_power_codes[][]$ に従って復号される。これらの領域に対する量子化器インデックスは、次のように再構成される。

$$rms_index(r) = rms_index(r-1) + differential_rms_index(r)$$

ここで、

$$1 \leq r < number_of_regions$$

カテゴリ化タイプの決定

振幅包絡を復号した後、復号器はMLT係数を表すために残っているビットの数を決定する。これは、次のようになされる。

$$bits\ available = bits\ per\ frame - amplitude\ envelope\ bits - four\ (categorization\ control\ bits)$$

符号器と同じカテゴリ化手順を用いて、16個の可能なカテゴリ化タイプが算出される。4ビットのカテゴリ化制御ビットは、どのカテゴリ化タイプがMLT係数を符号化するのに使用されたかを示しており、復号器によっても、使用されるべきである。

MLT係数の復号

各領域において、MLTベクトルに対応する可変長符号は、適切なカテゴリテーブルに従い復号される。Cコード中の配列 $mlt_svqh_bitcount_category_x[]$ と $mlt_svqh_code_category_x[]$ は、この目的のために使用される(ここで x は $0 \leq x \leq 6$ のカテゴリ値を表す)。領域内の個々のMLT係数量子化インデックス $k(i)$ は、ベクトルインデックスから次のように再生される。

$$k(i) = \left\lfloor \frac{vector_index(n)}{(kmax+1)^j} \right\rfloor \text{MOD}(kmax+1)$$

ここで

$\lfloor z \rfloor$ は、 z を超えない最大の整数を示す

$$i = (n+1)vd - j - 1$$

$$0 \leq j \leq vd - 1$$

$0 \leq n \leq vpr - 1$ 、領域 r における n 番目のベクトルを表す

また

vd = 与えられたカテゴリのベクトル次元

$kmax$ = Table 4 – 2 / JT-G722.1 に示す与えられたカテゴリに対する $k()$ の最大値

MLT 係数の再生には、C コード中の配列 $mlt_quant_centroid[][]$ のセントロイドテーブルを使用する。MLT 係数の大きさは、対象領域の $rms(r)$ と復号されたベクトルインデックスで指定されたセントロイドとの積を計算することにより再生される。正負は符号ビットに従う。

雑音充填

カテゴリ 7 に割り当てられた領域では、MLT 係数は符号化されない。カテゴリ 5 および 6 では、大きな量子化ステップサイズのため、大部分の MLT 係数がゼロとして符号化される。これらのゼロはランダムな符号と $rms(r)$ に比例した値の係数で置き換えられる。比例定数は Table 5 – 1 / JT-G722.1 に定義する。

Table 5 – 1 / JT-G722.1 Noise Fill proportionality constants
(ITU-T G.722.1)

category	default noise-fill proportionality constant
5	.176777
6	.25
7	.707107

5. 5 不足ビット

最後の非カテゴリ 7 領域を符号化し終える前に、符号器がビットを使い果たすフレームがあるかもしれない。このような場合の復号器の動作は、その領域と残りすべての領域をカテゴリ 7 割り当てで処理する。

5. 6 フレーム消失

もし復号器がフレーム消失やフレーム誤りの通知を受けたら（本標準では規定されていない外部シグナリングメカニズムによって）、復号器は前フレームの復号 MLT 係数を繰り返す。この処理は、これらの係数を時間領域に変換し、前フレームと次フレームの復号された情報を重ね合わせ加算演算をすることにより行われる。もし、前フレームもフレーム消失やフレーム誤りならば、そのとき復号器はすべての現フレームの MLT 係数をゼロに設定する。

5. 7 逆 MLT (IMLT)

それぞれの逆 MLT 操作は、320 個の時間領域オーディオサンプルを生成するために 320 個の係数を処理する。逆 MLT は、タイプ IV の DCT とそれに続く窓かけ、重ね合わせ加算演算に分解できる。

タイプ IV DCT は、次式で表される。

$$u(n) = \sum_{m=0}^{319} \sqrt{\frac{2}{320}} \cos\left(\frac{\pi}{320}(m+0.5)(n+0.5)\right) mlt(m)$$

窓かけ、重ね合わせ加算演算は、現フレームの DCT 出力の半分のサンプルと前フレームの DCT 出力の半分のサンプルとを使用する。

$$y(n) = w(n)u(159-n) + w(319-n)u_old(n)$$

但し

$$0 \leq n \leq 159$$

$$y(n+160) = w(160+n)u(n) - w(159-n)u_old(159-n)$$

但し

$$0 \leq n \leq 159$$

ここで

$$w(n) = \sin\left(\frac{\pi}{640}(n+0.5)\right)$$

但し

$$0 \leq n \leq 319$$

$u()$ の使用されなかった半分は、次フレームで使用するために、 $u_old()$ として保存される。

$$u_old(n) = u(n+160)$$

但し

$$0 \leq n \leq 159$$

6. Cコード

付属のCコードは、本標準の必須部分であり、いくつかのファイルに分割されている。これらのファイルを下記に示す。

```
basic_op.c
coef2sam.c
common.c
count.c
dct4_a.c
dct4_s.c
decode.c
decoder.c
dct4_a.h
encode.c
encoder.c
huff_tab.c
sam2coef.c
tables.c

basic_op.h
count.h
dct4_s.h
defs.h
huff_def.h
huff_tab.h
tables.h
typedefs.h
```

それぞれのプログラムは、コンパイルされて符号器ファイル `encode` と復号器ファイル `decode` になり、これらは次のようにコマンドラインで使えるようになる。

```
encode bit-stream-type input-audio-file output-bit-stream-file bit-rate
decode bit-stream-type input-bit-stream-file output-audio-file bit-rate
```

ここで

`bit-stream-type = 0`, 圧縮されたビット列を指定
`bit-stream-type = 1`, テスト用の I T U-T 勧告 G. 192 のビット列フォーマットを指定
`input-audio-file` = サンプルデータとして読み込ませる 16 ビット P C M オーディオファイル名
`output-audio-file` = 復号出力を保存する 16 ビット P C M オーディオファイル名
`input-bit-stream-file` = 入力ビット列として読み込ませるファイル名
`output-bit-stream-file` = 符号化ビット列出力を保存するファイル名
`bit-rate` = 24000 あるいは 32000, それぞれ 24kbit/s、32kbit/s 動作に対応

7. カテゴリ化手順のフローチャート

本章では、符号器および復号器で使用されるカテゴリ化計算の詳細手順について述べる。この手順は、フローチャートに示される様に、25 のステップに分割されている。

本章では、次の変数が定義、参照されている。

category.X[r]

は、カテゴリ化タイプ *X* で領域 *r* に割り当てられたカテゴリである。

ここで、
 $0 \leq X < 16$
 $0 \leq r < 14(\text{number_of_regions})$
 $0 \leq \text{category.X}[r] \leq 7$

STEP (0)

フレームあたりに割り当てるビット数 (例えば、24kbit/s 動作では 480) から始めて、使用可能なビット数を計算する。そして、振幅包絡を表すためのビット数を差し引き、カテゴリ化タイプ選択を表すためのカテゴリ化制御ビットを差し引く。この数値を次のように修正する。

```
if
    number_of_available_bits > 320
then
    estimated_number_of_available_bits = 320 + ((number_of_available_bits - 320) * 5/8)
```

(これは、異なるビットレートでのカテゴリ割り当てに関連した統計上の差異を補償する。)

STEP (1)

一時的な配列の割り当て

```
initial_categorization[number_of_regions]
max_category[number_of_regions]
min_category[number_of_regions]
temp_category_balances[32]
```

一時的な変数の割り当て

```
offset
delta
expected_bits
```

max_expected_bits
min_expected_bits
max_pointer
min_pointer
categorization_count

STEP (2)

初期化

offset = -32
delta = 32

STEP (3)

それぞれの領域に対して制限を持たないカテゴリ割り当てを計算

$initial_categorization[r] = (offset + delta - rms_index[r]) / 2$

STEP (4)

それぞれの領域に対して *initial_categorization*[] を制限

if
 initial_categorization[*r*] < 0
then
 initial_categorization[*r*] = 0
if
 initial_categorization[*r*] > 7
then
 initial_categorization[*r*] = 7

STEP (5)

expected_bits_table[8]は、それぞれのカテゴリに対する平均ビット数が含まれた予め決定されたテーブルである。これは、このカテゴリ化の為の総ビット数の予測値を計算するために使用される

$expected_bits = \sum_{r=0}^{number_of_regions-1} expected_bits_table[initial_categorization[r]]$

STEP (6)

if
 expected_bits ≥ *estimated_number_of_available_bits* - 32
then
 offset = *offset* + *delta*

STEP (7)

delta = *delta* / 2

STEP (8)

if
 delta > 0
then
 go to STEP(3)

otherwise
continue on to STEP(9)

STEP (9)

$initial_categorization[r] = (offset - rms_index[r]) / 2$

STEP (10)

STEP(4)と同様の方法で、それぞれの領域に対して $initial_categorization[r]$ を制限。

STEP (11)

STEP(5)と同様の方法で、 $initial_categorization[]$ に対する $expected_bits$ を算出。

STEP (12)

初期化

$max_category[r] = initial_categorization[r]$

$min_category[r] = initial_categorization[r]$

$max_bits = expected_bits$

$min_bits = expected_bits$

$max_pointer = 16$

$min_pointer = 16$

$categorization_count = 1$

STEP (13)

if

$max_bits + min_bits \leq 2 * estimated_number_of_available_bits$

then

go to STEP(14)

otherwise

go to STEP(16)

STEP (14)

以下の式を満たす領域 r に対して

$max_category[r] > 0$

次に示す関数を最小にする領域を探索する。

$offset - rms_index[r] - 2 * max_category[r]$

この関数を最小にする r が複数存在する場合は、最も小さい（すなわち、最低周波数の）領域 r を選択する。

STEP (15)

$max_pointer = max_pointer - 1$

$temp_category_balances[max_pointer] = r$

$max_bits = max_bits - expected_bits_table[max_category[r]]$

$max_category[r] = max_category[r] - 1$

$min_bits = min_bits + expected_bits_table[max_category[r]]$

go to STEP(18)

STEP (16)

以下の式を満たす領域 r に対して

$$\text{min_category}[r] < 7$$

次に示す関数を最大にする領域を探索する。

$$\text{offset} - \text{rms_index}[r] - 2 * \text{min_category}[r]$$

この関数を最大にする r が複数存在する場合は、最も大きい（すなわち、最高周波数の）領域 r を選択する。

STEP (17)

$$\text{categorization_count} = \text{categorization_count} + 1$$

$$\text{min_pointer} = \text{min_pointer} + 1$$

$$\text{min_bits} = \text{min_bits} - \text{expected_bits_table}[\text{min_category}[r]]$$

$$\text{min_category}[r] = \text{min_category}[r] + 1$$

$$\text{min_bits} = \text{min_bits} + \text{expected_bits_table}[\text{min_category}[r]]$$

STEP (18)

$$\text{categorization_count} = \text{categorization_count} + 1$$

if

$$\text{categorization_count} < 16$$

then

go to STEP(13)

otherwise

go to STEP(19)

STEP (19)

$\text{max_category}[]$ を $\text{category.0}[]$ へコピーする。

すべての領域において

$$\text{category.0}[r] = \text{max_category}[r]$$

STEP (20)

$$n = 1$$

STEP (21)

($n-1$)番目のカテゴリ化タイプにおける内容を n 番目のカテゴリ化タイプへコピーする。

すべての領域において

$$\text{category.n}[r] = \text{category.n-1}[r]$$

STEP (22)

$\text{temp_category_balances}[\text{max_pointer}]$ によって示された領域に対するカテゴリをインクリメントする。

$$\text{category.n}[\text{temp_category_balances}[\text{max_pointer}]] =$$

$$\text{category.n}[\text{temp_category_balances}[\text{max_pointer}]] + 1$$

STEP (23)

$$\text{max_pointer} = \text{max_pointer} + 1$$

$$n = n + 1$$

STEP (24)

if

$n < 16$

then

go to STEP(21)

otherwise

END

8. ☒

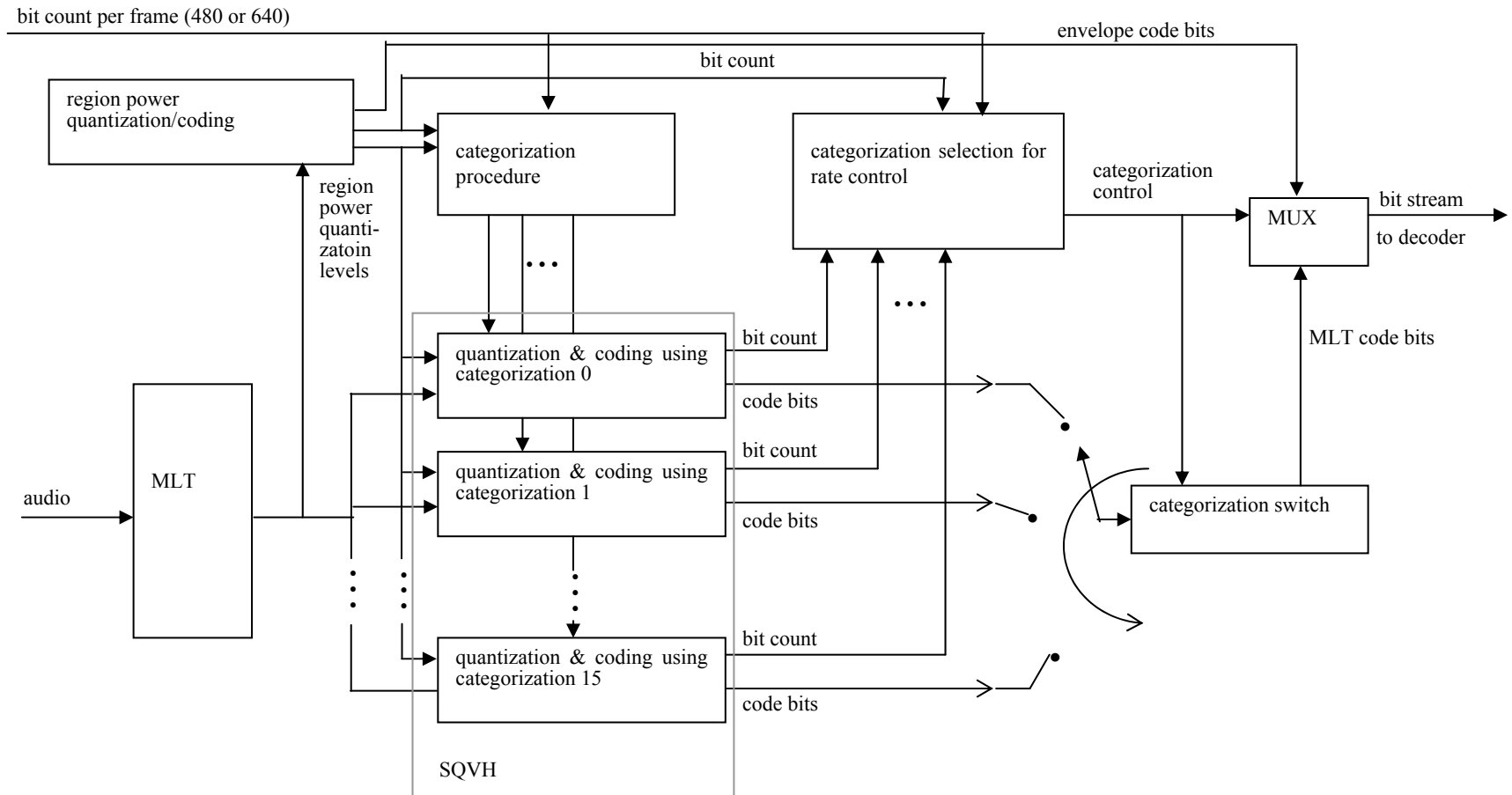


Figure 1 / JT-G722.1 Block diagram of the encoder
(ITU-T G.722.1)

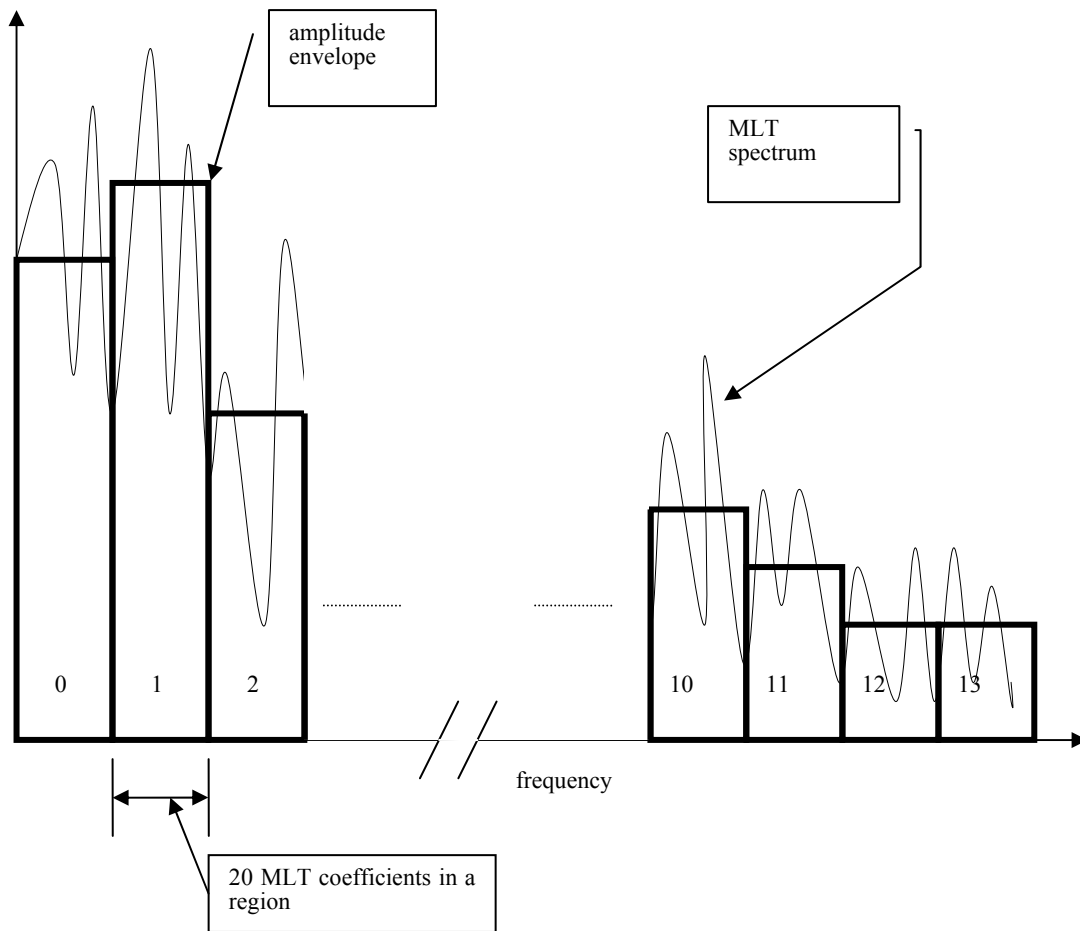


Figure 2 / JT-G722.1 An illustration of how the spectrum is divided into fourteen regions, each containing 20 MLT coefficients. Each value of the amplitude envelope represents the RMS (root-mean-square) value of the MLT coefficients in that region. (ITU-T G.722.1)

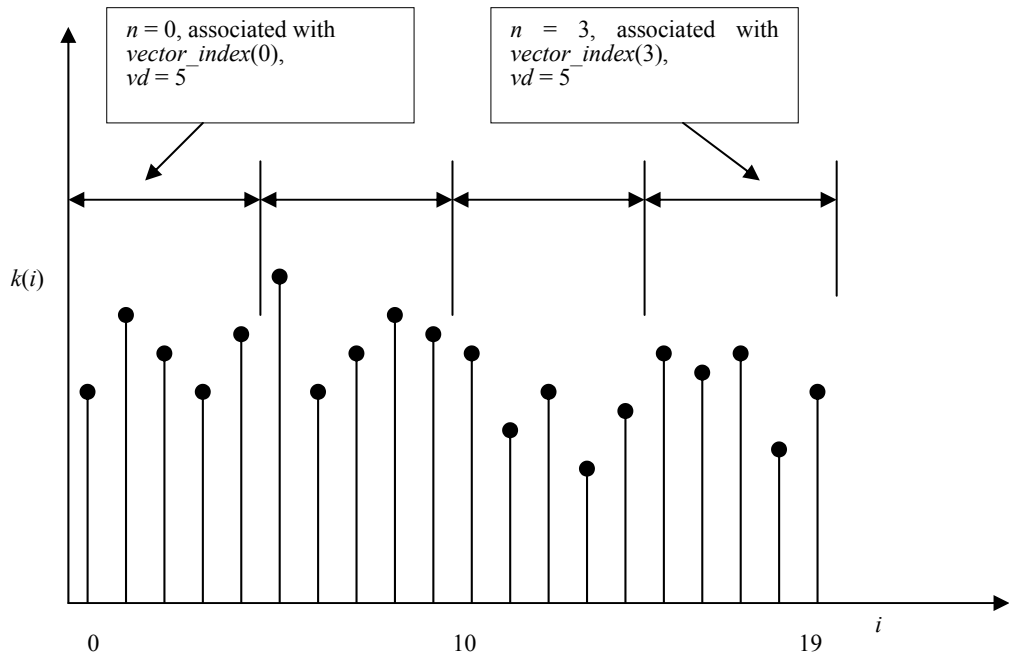


Figure 3 / JT-G722.1 An example illustrating how a region, assigned a category of 6, is split into a series of five dimensional vectors ($vd = 5$) with four vectors per region ($vpr = 4$ and $0 \leq n < 4$). Each vector index will represent vd quantized MLT coefficients.

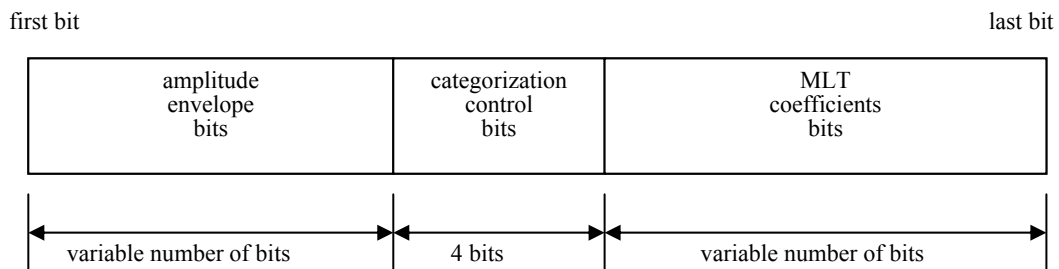


Figure 4 / JT-G722.1 Major bit stream fields and their order in transmission. (ITU-T G.722.1)

付属資料A

(標準 JT-G 7 2 2. 1 に対する)

JT-G 7 2 2. 1 パケットフォーマット、能力識別子および能力パラメータ

A. 1 概要

本付属資料は、JT-H 3 2 3 システムで用いられる場合の JT-G 7 2 2. 1 に対するパケットフォーマットを記述したものである。ここで定義されたものと同一のペイロード構成は、他のパケット転送システムに対しても適用できる。JT-H 3 2 3 に必要な能力識別子とパラメータテーブルも記載される。

A. 2 JT-G 7 2 2. 1 フレームに対するパケット構成

TTC 標準 JT-G 7 2 2. 1 で定義されるオーディオ符号化方式は、50Hz-7kHz 帯域幅のオーディオ信号を、フレーム長 20ms およびサンプリング周波数 16kHz で、24kbit/s または 32kbit/s のいずれかのビットレートを符号化を行う。ビットレートは、任意の 20ms フレーム単位で変更可能である。ただし、ビットレートの変更は、ビット列中のインバンドにおいては通知されない。24kbit/s で動作する場合は、1 フレームあたり 480 ビット (60 オクテット) が生成され、32kbit/s で動作する場合は、1 フレームあたり 640 ビット (80 オクテット) が生成される。このように、両方のビットレートは、パディングビットなしにオクテット単位の配列が可能である。

同様に、TTC 標準 JT-G 7 2 2. 1 付属資料 C における拡張方式は、50Hz-14kHz 帯域幅のオーディオ信号を、同じフレーム構成とパケットフォーマットで符号化する。主要なパラメータを、付表 A-2-1 / JT-G722.1 にまとめる。

付表 A-2-1 / JT-G722.1 JT-G 7 2 2. 1 モード毎のパラメータ
(ITU-T G.722.1)

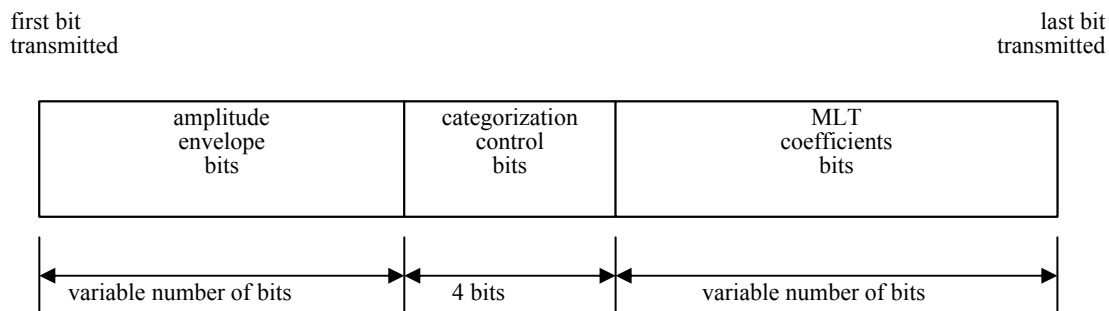
	Sample rate (kHz)	Frame length (milliseconds)	Frame size (bits/octets)
JT-G 7 2 2. 1 24 kbit/s	16	20	480 / 60
JT-G 7 2 2. 1 32 kbit/s	16	20	640 / 80
JT-G 7 2 2. 1 付属資料 C 24 kbit/s	32	20	480 / 60
JT-G 7 2 2. 1 付属資料 C 32 kbit/s	32	20	640 / 80
JT-G 7 2 2. 1 付属資料 C 48 kbit/s	32	20	960 / 120

フレーム単位のビット数は一定である。しかしながら、この一定ビット数のフレーム内で、JT-G 7 2 2. 1 では符号化パラメータの大部分を表現するのに可変長符号化 (すなわち、ハフマン符号化) を用いる。カテゴリ化制御ビットパラメータを除いて、全ての他のビット列パラメータは、可変長の符号、すなわち可変ビット数で表現される。付図 A-2-1 / JT-G722.1 ではこの点を示すと共に、送信パラメータフィールドの順序を示している。全ての可変長符号およびカテゴリ化制御ビットは最も左の (すなわち、最上位の) ビットから最も右の (すなわち、最下位の) ビットへの順で送信される。ハフマン符号化を使用するという事は、すなわち、最初にフレーム全ての復号を完結しなければ、ビット列に含まれる各種パラメータ符号化パラメータ / フィールドを特定することはできないということを意味する。

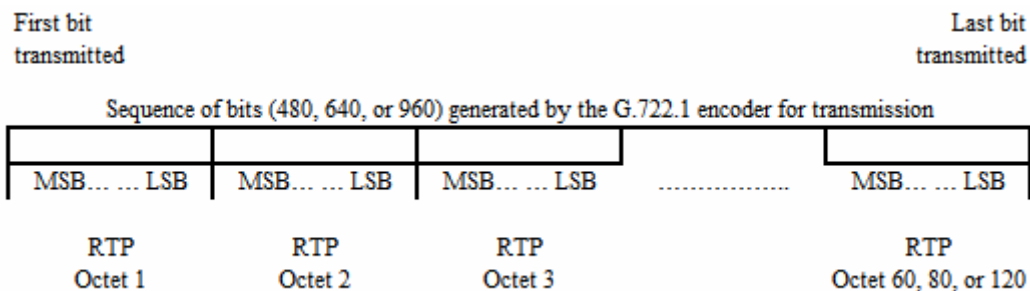
付図 A-2-2 / JT-G722.1 に、TTC 標準 JT-H 2 2 5. 0 で記述されているオクテット配置された RTP [1] ペイロードに対する JT-G 7 2 2. 1 のビット列のマッピング方法を図示する。

RTP パケットは同一ビットレートかつ同一サンプリング周波数の JT-G 7 2 2. 1 フレームのみを含むものでなければならない。TTC 標準 JT-G 7 2 2. 1 付属資料 C 以外の RTP タイムスタンプは 1/16000 秒単位でなければならない。TTC 標準 JT-G 7 2 2. 1 付属資料 C の場合は、1/32000 秒単位でなければならない。

ない。



付図A-2-1/JT-G722.1 ビット列フィールドとその送信順序 (ITU-T G.722.1)



付図A-2-2/JT-G722.1 JT-G722.1符号化ビット列 (ITU-T G.722.1)

このビット列は、オクテットのシーケンスに分割され（モードに応じて60、80、または120オクテット）、各々のオクテットはRTPオクテットにマッピングされる。

A. 3 TTC標準JT-H245で用いられる能力識別子およびパラメータテーブル

JT-H245においてベースラインJT-G722.1の能力情報交換用に GenericCapability が使用される。能力識別子およびパラメータのテーブルを以下に示す。

A. 3. 1 ベースライン JT-G 7 2 2. 1

付表A-3-1-1/JT-G722.1 JT-G 7 2 2. 1に対する能力識別子テーブル
(ITU-T G.722.1)

能力名称	T T C 標準 J T - G 7 2 2. 1
能力クラス	Audio
能力識別子タイプ	標準
能力識別子値	{ itu-t (0) recommendation (0) g (7) 7221 generic-capabilities (1) 0 }
maxBitRate	このパラメータは32000 (32kbit/sを表す) または24000 (24kbit/sを表す) の値に設定されなければならない。
collapsing	このフィールドは、以下に与えられる J T - G 7 2 2. 1 Capability Parameters を含まなければならない
nonCollapsing	このフィールドは含まれてはならない
nonCollapsingRaw	このフィールドは使用されない
transport	このフィールドは使用されない

J T - H 2 4 5 能力と OpenLogicalChannel メッセージの両方において、付表A-3-1-1で与えられる maxBitRate フィールドは、一つの正確なビットレートで動作する単一の J T - G 7 2 2. 1 モードを示すために使われなければならない (J T - H 2 4 5 における maxBitRate の定義にかかわらず)。

例えば、32000 の maxBitRate を持つ { itu-t (0) recommendation (0) g (7) 7221 generic-capabilities (1) 0 } の能力識別子を含むシステムは、32kbit/s のみの J T - G 7 2 2. 1 に準じた動作能力があることを示し、いかなる低ビットレートでの動作能力を必要としない。もし、システムが 24kbit/s と 32kbit/s の両方で動作する能力がある場合、二つの GenericCapability メッセージ、すなわち一つは 24000 の maxBitRate を示し、もう一方は 32000 の maxBitRate を示す、を持つ能力を表示しなければならない。

注：付表A-3-1-1における maxBitRate フィールドの単位およびその使用法は、J T - H 2 4 5 の規定とも、付表A-3-2-1における単位および使用法とも異なる。これらの単位および使用法は、歴史的に確立されており、既存システムとの相互接続性を継続するために踏襲される。

付表A-3-1-2/JT-G722.1 1つの RTP パケットに許容される最大フレーム数を記述した、
(ITU-T G.722.1) J T - G 7 2 2. 1 に対する GenericCapability パラメータテーブル

パラメータ名称	maxFramesPerPacket
パラメータ記述	これは Collapsing GenericParameter である。 maxFramesPerPacket の値は1つの RTP パケットに含まれる最大の J T - G 7 2 2. 1 符号化フレーム数を示す
パラメータ識別子値	1
パラメータステータス	必須
パラメータタイプ	unsignedMin
Supercedes	このフィールドは使用されない

A. 3. 2 JT-G722.1の拡張モード

これらの表は、TTC標準JT-G722.1付属資料Cを含むJT-G722.1の拡張モードに対するJT-H245において使用されるGenericCapabilityを規定している。

付表A-3-2-1/JT-G722.1 JT-G722.1の拡張モードに対する能力識別子テーブル
(ITU-T G.722.1)

能力名称	TTC標準JT-G722.1
能力クラス	Audio
能力識別子タイプ	標準
能力識別子値	{ itu-t (0) recommendation (0) g (7) 7221 generic-capabilities (1) extension (1) 0 }
maxBitRate	このパラメータは480 (48kbit/sを表す)、320 (32kbit/sを表す) または240 (24kbit/sを表す) の値に設定されなければならない
collapsing	このフィールドは、以下に与えられるJT-G722.1拡張モードCapability Parametersを含まなければならない
nonCollapsing	このフィールドは含まれてはならない
NonCollapsingRaw	このフィールドは使用されない
Transport	このフィールドは使用されない

この能力識別子の maxBitRate フィールドは、JT-H245にしたがって使用される。下記のsupportedExtendedModesパラメータにおいて示されるモードのセットから、サポートされる最大ビットレートを示す。単一の{ itu-t (0) recommendation (0) g (7) 7221 generic-capabilities (1) extension (1) 0 }能力識別子は、全てのサポートされているJT-G722.1拡張モードを示すために使われなければならない。

付表A-3-2-2/JT-G722.1 JT-G722.1の拡張モードに対するGeneric Capabilityパラメータ表(RTPパケットにおいて許容される最大フレーム数の記述)

(ITU-T G.722.1)

パラメータ名称	maxFramesPerPacket
パラメータ記述	これは、Collapsing GenericParameterである。maxFramesPerPacketの値は、単一のRTPパケットに含まれる拡張モードJT-G722.1符号化フレーム数の最大値を指定する。
パラメータ識別子値	1
パラメータステータス	必須
パラメータタイプ	unsignedMin
Supercedes	このフィールドは使用されない

付表A-3-2-3/JT-G722.1 JT-G722.1の拡張モードに対するGeneric Capabilityパラメータ表
(サポートしているモードの記述)

(ITU-T G.722.1)

パラメータ名称	supportedExtendedModes
パラメータ記述	<p>このパラメータはブール配列である</p> <p>bit 2 (value 64) が1の時、24 kbit/sの付属資料C/JT-G722.1を示す</p> <p>bit 3 (value 32) が1の時、32 kbit/sの付属資料C/JT-G722.1を示す</p> <p>bit 4 (value 16) が1の時、48 kbit/sの付属資料C/JT-G722.1を示す</p> <p>その他の全てのビットは予約され、0に設定されなければならない、受信側では無視しなければならない</p> <p>それぞれのビットが1に設定された場合、システムが、示されたモードで動作する能力があることを意味する。</p> <p>OpenLogicalChannelメッセージにおいては、一つのビットのみ1に設定されなければならない。これは、論理チャネルにおいて使用されるモードを示している。</p> <p>注- 将来において、予約ビット数で提供することのできる数より多くのモードが定義された場合、追加モードに対応したほかのパラメータを割り当てることによって追加モードが示されることになる</p>
パラメータ識別子値	2
パラメータステータス	必須
パラメータタイプ	booleanArray
Supercedes	このフィールドは使用されない

A. 4 参考文献

- [1] TTC標準 JT-H225.0

付属資料B

(標準 J T - G 7 2 2 . 1 に対する)

J T - G 7 2 2 . 1 の浮動小数点演算による実現

B. 1 概要

本付属資料は、T T C 標準 J T - G 7 2 2 . 1 の浮動小数点演算による実現に関して記述したものである。

B. 2 アルゴリズムの記述

T T C 標準 J T - G 7 2 2 . 1 浮動小数点演算版における基本的なアルゴリズム手順は、固定小数点演算版と同じである。

B. 3 A N S I C コード

T T C 標準 J T - G 7 2 2 . 1 の浮動小数点演算をシミュレートする A N S I 準拠の C コードは、I T U - T の Web サイトから入手可能である。C コードによるアルゴリズム記述は、T T C 標準 J T - G 7 2 2 . 1 の本文および本付属資料に記載される内容より優先される。

浮動小数点演算の C ソースコードを構成するファイル一覧を Table B - 3 - 1 / J T - G 7 2 2 . 1 に示す。

Table B - 3 - 1 / J T - G 7 2 2 . 1 List of software files specific to G.722.1 floating-point source code (ITU-T G.722.1)

File Name	Description
common.c	routines used by encoder and decoder
dct4.c	forward and inverse DCT
decode.c	main program for decoder
decoder.c	routines for decoder
encode.c	main program for encoder
encoder.c	routines for encoder
rmlt_coefs_to_samples.c	inverse MLT
samples_to_rmlt_coefs.c	MLT
defs.h	parameter definitions
huff_defs.h	definitions for Huffman coding
huff_tables.h	declaration of Huffman tables

この浮動小数点演算プログラムをコンパイルすると、符号器ファイル `encode` と復号器ファイル `decode` が生成され、これらは次のようにコマンドラインで使えるようになる。

```
encode bit-stream-type input-audio-file output-bit-stream-file bit-rate
```

```
decode bit-stream-type input-bit-stream-file output-audio-file bit-rate
```

ここで

`bit-stream-type = 0`, 圧縮されたビット列を指定

`bit-stream-type = 1`, テスト用の I T U - T 勧告 G . 1 9 2 のビット列フォーマットを指定

`input-audio-file` = サンプルデータとして読み込ませる 16 ビット P C M オーディオファイル名

`output-audio-file` = 復号出力を保存する 16 ビット P C M オーディオファイル名

input-bit-stream-file = 入力ビット列として読み込ませるファイル名

output-bit-stream-file = 符号化ビット列出力を保存するファイル名

bit-rate = 24000 あるいは 32000, それぞれ 24kbit/s、32kbit/s 動作に対応

付属資料 C

(標準 J T - G 7 2 2 . 1 に対する)

24, 32, および 48 k b i t / s の 14 k H z モード

概要

T T C 標準 J T - G 7 2 2 . 1 は、16kHz の サンプリグ周波数に基づく低演算量 7kHz オーディオ帯域モードについて述べている。本付属資料は、32kHz の サンプリグ周波数を用いた 14kHz オーディオ帯域信号を 24,32,48kbit/s のビットレートで符号化する T T C 標準 J T - G 7 2 2 . 1 の低演算量拡張モードについて述べている。

このモードは、ビデオ会議、電話会議、およびインターネットストリーミングを用いたアプリケーションでの利用に適しており、7kHz モードと同じ 20ms のフレーム長、40ms のアルゴリズム遅延、および同じアルゴリズム上のステップを用いる。7kHz モードでは、符号化および復号に 5.5WMOPS 未満の演算量が必要であるのに対し、14kHz モードでは、符号化および復号に 11 WMOPS 未満の演算量が必要である。

24,32,および 48kbit/s の 14kHz モードの T T C 標準 J T - G 7 2 2 . 1 付属資料 C の固定小数点リファレンスコードは、I T U - T の Web サイトから入手可能である。

C. 1 はじめに

本付属資料は、T T C 標準 J T - G 7 2 2 . 1 の 24,32,および 48kbit/s の 14kHz モードの詳細を提供するものである。

C. 2 アルゴリズムの記述

この T T C 標準 J T - G 7 2 2 . 1 の 14kHz モードは、二倍になったオーディオ帯域に適応させるためにアルゴリズム上の一部定数が二倍になったことを除き、T T C 標準 J T - G 7 2 2 . 1 本体のモード (7kHz オーディオ帯域) と同一のアルゴリズム上のステップを持つ。

T T C 標準 J T - G 7 2 2 . 1 本体と比較した本付属資料のアルゴリズム上の相違点を明示すると、以下の通り。

- サンプリングレートが 16kHz から 32kHz と二倍になっている。
- フレームあたりのサンプル数が 320 から 640 と二倍になっている。(同じ 20ms のフレーム長のため)
- 変換窓サイズが以下のように 640 から 1280 と二倍になっている。

それぞれの M L T の入力は、最近の 1280 オーディオサンプル $x(n)$ である。

ここで、 $x(0)$ が最も古いサンプル値であり、 $0 \leq n < 1280$ である。

M L T の出力は、640 個の変換係数 $mlt(m)$ である。

ここで、 $0 \leq m < 640$ である。

M L T は以下のように与えられる。

$$mlt(m) = \sum_{n=0}^{1279} \sqrt{\frac{2}{640}} \sin\left(\frac{\pi}{1280}(n+0.5)\right) \cos\left(\frac{\pi}{640}(n-319.5)(m+0.5)\right) x(n)$$

M L T は、窓掛け重ね合せ加算演算と、引き続き行われるタイプ IV の離散コサイン変換 (D C T) とに分解することができる。窓掛け重ね合せ加算演算は、以下のように与えられる。

$$v(n) = w(319-n)x(319-n) + w(320+n)x(320+n) \quad \text{for } 0 \leq n \leq 319$$

$$v(n+320) = w(639-n)x(640+n) - w(n)x(1279-n) \quad \text{for } 0 \leq n \leq 319$$

ここで、

$$w(n) = \sin\left(\frac{\pi}{1280}(n+0.5)\right) \quad \text{for } 0 \leq n < 640$$

である。

$v(n)$ をタイプIVのDCTと結合することにより、MLTの最終的な表現はこのようになる。

$$mlt(m) = \sum_{n=0}^{639} \sqrt{\frac{2}{640}} \cos\left(\frac{\pi}{640}(n+0.5)(m+0.5)\right) v(n) \quad \text{for } 0 \leq m < 640$$

それぞれのIMLT演算は、640個の係数から640個の時間領域オーディオサンプルを生成する。IMLTは、タイプIVのDCTと、引き続き行われる窓掛けオーバーラップ加算演算とに分解することができる。

タイプIVのDCTは、以下のように与えられる。

$$u(n) = \sum_{m=0}^{639} \sqrt{\frac{2}{640}} \cos\left(\frac{\pi}{640}(m+0.5)(n+0.5)\right) mlt(m)$$

窓掛けオーバーラップ加算演算は、以下のように、現在のフレームのDCT出力の半分のサンプルと、前のフレームのDCT出力の半分のサンプルとを用いる。

$$y(n) = w(n)u(319-n) + w(639-n)u_{old}(n) \quad \text{for } 0 \leq n \leq 319$$

$$y(n+320) = w(320+n)u(n) - w(319-n)u_{old}(319-n) \quad \text{for } 0 \leq n \leq 319,$$

ここで、

$$w(n) = \sin\left(\frac{\pi}{1280}(n+0.5)\right) \quad \text{for } 0 \leq n \leq 639$$

である。

ここで用いられなかった $u()$ の半分は、次のフレームで用いるために以下のように $u_{old}()$ として蓄積される。

$$u_{old}(n) = u(n+320) \quad \text{for } 0 \leq n \leq 319$$

d) 以下のように、二倍になった帯域に適応させるために、新たにDCTテーブルを追加している。

DCTのために新たなテーブル `a_cos_msin_64[320][2]` が `dct4_a.h` に、また逆DCTのために二つの新たなテーブル `s_cos_msin_64[320][2]` および `max_dither[640]` が `dct4_s.h` に、それぞれ追加されている（詳細は `dct4_a.h` および `dct4_s.h` を参照すること）。

e) 500Hz 幅のサブバンドの数を、14 から 28 へ二倍している。

f) 以下のように、ハフマン符号化テーブルを二倍している。

以下のハフマン符号化テーブルは、TTC標準JT-G 7 2 2. 1本体で用いられているハフマン符号化テーブルと比べてより大きなサイズとなっている。

`differential_region_power_bits[28][24]`

`differential_region_power_codes[28][24]`

`differential_region_power_decoder_tree[28][23][2]`

`mlt_quant_centroid[8][16]`

上記の最初の3つのテーブルは、TTC標準JT-G 7 2 2. 1本体用のそれぞれ対応するテーブルの最終行を繰り返すことによって得られる。4番目のテーブルは、TTC標準JT-G 7 2 2. 1本体用のテーブルに、新たに1行と零の列2列分を加えることによって得られる（詳細は、`huff_tab.c`を参照すること）。

g) 1フレーム当たりの合計ビット数は、ビットレートが24、32、及び48 kbit/sにおいて、それぞれ480、640、及び960ビットとなる。これには、振幅包絡を表すために使われるビット、4つのカテゴリ制御ビット、及びMLT係数符号化のために必要とされるビットが含まれる。ビット割り当ては、フレーム毎に、14kHzの全周

波数帯域に渡って動的に変化させる。

h) 以下のように、使用可能なビット数を調整するためのしきい値が二倍となっている。
 実際の使用可能なビット数に基づいて、次式にて使用可能なビット数の推定値を計算する。

if

$$\text{number_of_available_bits} > 640$$

then

$$\text{estimated_number_of_available_bits} = 640 + ((\text{number_of_available_bits} - 640) * 5/8)$$

estimated_number_of_available_bits は、カテゴリ化の過程において、常に実際の使用可能なビット数未満であり、余裕を持たせている。

C. 3 ANS I Cコード

TTC標準JT-G722.1の14kHzモードをシミュレートするANSI準拠のCコードは、ITU-TのWebサイトから入手可能である。Cコードによるアルゴリズム記述は、TTC標準JT-G722.1本体または本付属資料に記載される内容より優先される。

16/32ビット固定小数点演算のCソースコードを構成するファイル一覧を、TableC-3-1/JT-G722.1に示す。

TableC-3-1/JT-G722.1 List of software files specific to G.722.1 14 kHz mode source code (ITU-T G.722.1)

File Name	Description
basop32.c	basic arithmetic operators
coef2sam.c	inverse MLT
common.c	routines used by encoder and decoder
count.c	functions for automatic complexity calculation
dct4_a.c	forward DCT
dct4_s.c	inverse DCT
decode.c	main program for decoder
decoder.c	routines for decoder
encode.c	main program for encoder
encoder.c	routines for encoder
huff_tab.c	Huffman coding for both encoder & decoder
sam2coef.c	forward MLT
tables.c	tables for forward & inverse MLT
basop32.h	definitions of basic arithmetic operators
count.h	definitions of functions for measuring complexity
dct4_a.h	definitions of tables for forward DCT
dct4_s.h	definitions of tables for inverse DCT
defs.h	parameter definitions
huff_defs.h	definitions for Huffman coding
huff_tables.h	declaration of Huffman tables

tables.h	definitions of tables for forward & inverse MLT
typedefs.h	definitions of data types and constants

これら個々のプログラムをコンパイルすると、符号器ファイル `encode` と復号器ファイル `decode` が生成され、これらは以下のようにコマンドラインで使えるようになる。

```
encode bit-stream-type input-audio-file output-bit-stream-file bit-rate bandwidth
```

```
decode bit-stream-type input-bit-stream-file output-audio-file bit-rate bandwidth
```

ここで、

`bit-stream-type = 0`, 圧縮されたビット列を指定

`bit-stream-type = 1`, テスト用の I T U-T 勧告 G. 192 のビット列フォーマットを指定

`input-audio-file` = サンプルデータとして読み込ませる 16 ビット P C M オーディオファイル名

`output-bit-stream-file` = 符号化ビット列出力を保存するファイル名

`input-bit-stream-file` = 入力ビット列として読み込ませるファイル名

`output-audio-file` = 復号出力を保存する 16 ビット P C M オーディオファイル名

`bit-rate` = 24000 あるいは 32000, 7kHz オーディオ帯域モードのビットレート(単位は bit/s)

`bit-rate` = 24000, 32000 あるいは 48000, 14kHz オーディオ帯域モードのビットレート(単位は bit/s)

`bandwidth` = 7000 あるいは 14000, それぞれ 7 kHz オーディオ (T T C 標準 J T - G 7 2 2. 1 本体)、あるいは 14 kHz オーディオ (T T C 標準 J T - G 7 2 2. 1 付属資料 C) に対応

付録
(標準 J T - G 7 2 2 . 1 に対する)

用語対照表

英語	T T C 標準用語
2's complement	2 の補数
amplitude envelope	振幅包絡
assignment	割当て
audio	オーディオ
bandwidth	帯域幅
basis function	基底関数
bit exact	ビットイグザクト
bit stream	ビット列
capability exchange	能力情報交換
capability identifier	能力識別子
categorization	カテゴリ化タイプ
categorization control bit	カテゴリ化制御ビット
categorization procedure	カテゴリ化手順
category	カテゴリ
category assignment	カテゴリ割り当て
category table	カテゴリテーブル
category value	カテゴリ値
centroid table	セントロイドテーブル
code bit	符号語ビット
coder	符号器
decoder	復号器
discrete cosine transform	離散コサイン変換
encoder	符号器
fixed-point mathematical operations	固定小数点演算
floating point	浮動小数点
frame loss	フレーム消失
hands free	ハンズフリー
Huffman coding	ハフマン符号化
inband	インバンド
insufficient bits	不足ビット
least significant bit	最下位ビット
look-ahead	先読み
modulated lapped transform	変調重複変換
most significant bit	最上位ビット
multiplexer	多重化器
noise fill	雑音充填
octet	オクテット
overlap and add operation	重ね合わせ加算演算

英語	T T C 標準用語
packet format	パケットフォーマット
packet transport	パケット転送
padding	パディング
payload	ペイロード
pseudo-random number	擬似乱数
region	領域
scalar quantization	スカラ量子化
sign	符号
sign bit	符号ビット
spectrum	スペクトル
time stamp	タイムスタンプ
variable length	可変長
wideband	広帯域

付録
(標準 JT-G 7 2 2. 1 に対する)
用語解説

離散コサイン変換 (discrete cosine transform)

余弦関数から導かれる基底ベクトルによる直交変換の一種であり、高速変換アルゴリズムが存在するなどの実現上の利点がある変換手法。

ハフマン符号化 (Huffman coding)

量子化された事象に対して、その発生頻度により長さの異なる符号を割り当てることによりデータ圧縮を行う手法である可変長符号化の中で代表的な符号化法。ハフマン符号では、事象の発生頻度を予め想定しておき、それに対して可変長符号が設計される。

変調重複変換 (modulated lapped transform)

直交変換手法のうち、隣接ブロックとデータを重複させて信号の変換を行う方式である、重複直交変換手法のうちの1手法。